

## 直翅目：螽蜥总科、蟋蟀总科

夏凯龄 刘完集

(中国科学院上海昆虫研究所, 上海 200025)

武陵山区系指鄂、湘、川、黔 4 省交界的山区, 过去对昆虫资源未作过系统的调查, 资料十分贫乏。作者于 1987—1989 年参加中国科学院西南地区动物资源综合考察, 对上述地区的昆虫种类进行了初步调查, 现将这次考察中所采集的直翅目昆虫中的螽蜥和蟋蟀标本整理鉴定的结果报道如下: 共采集标本 800 余号, 计 51 属, 95 种, 隶属于 2 总科, 其中有 1 新属和 17 新种, 分别记述于后。新种模式标本均保存在中国科学院上海昆虫研究所。

## 一、螽蜥总科 Tettigoniodea

## 露螽科 Phaneropteridae

## 露螽亚科 Phaneropterinae

1. 瘦露螽 *Phaneroptera gracilis* Burmeister

分布: 湖南(吉首)、四川(黔江)、贵州(玉屏)。

2. 黑角露螽 *Phaneroptera nigroantennata* Brunner

分布: 湖南(慈利)。

3. 赤褐环螽 *Letana rubescens* (Stål)

分布: 湖南(大庸、吉首)。

异条螽属 *Alloducetia*, 新属

头顶侧扁, 狭于触角第 1 节的宽, 背面具沟。复眼卵形, 突出。前胸背板缺侧隆线, 肩凹不明显; 表面平滑和缺光泽。前足基节缺刺。股节腹面通常具小刺, 膝叶具 2 刺。前足胫节内、外两侧听器均为开放型。前足和中足胫节背面具刺。后足胫节具 3 对端距。前、



后翅发育完全。前翅甚狭窄，缺光泽和不透明；Sc脉和R脉几乎毗连，仅端部稍分离；雄性左前翅发音部强突出（图1：b）。后翅长于前翅。雄性第十腹节背板不变形。雄性下生殖板深裂成两叶，强向上弯曲，缺腹刺。产卵瓣发育完全，具细齿成细钝锯齿；生殖突基片变形，端部具延长的尖端（图1：d）。

模式种：*Alloducetia bifurcata*，新种

本新属与条螽属 *Ducetia* Stål, 1874 较相近，区别在于雄性左前翅发音部强地突出；雌性生殖突基片变形，端部具延长的尖端。

#### 4. 歧异条螽 *Alloducetia bifurcata* Hsia et Liu, 新种 (图1)

雄性：头顶侧扁，甚狭于触角第1节的宽，与颜顶不接触，背面缺明显的纵沟，侧观凹形。复眼卵圆形，突出。前胸背板缺侧隆线，侧片的长稍微大于高，下缘较直，肩部后缘弱凹。前足基节缺刺，各足股节腹面具少量的小刺，前足胫节具沟和外背距。前翅甚狭长，稍超过后足股节端部；Rs脉从R脉中部之后分出，中部之后分为两枝或不分枝；发音区强三角形突出。后翅长于前翅。第10腹节背板不变形，后缘稍凹。肛上板矩形。尾须较简单，圆柱形，强内弯，端部具一喙状齿，下生殖板深裂成两个向上弯曲的裂叶，端部分裂为两枝（图1：d），内枝较短，端部具细齿；外枝端部刺状延长。

体黄绿色。头部复眼后方具二甚细的淡色纵条纹。前胸背板具暗色散点，背面较密，两侧各具一甚细的淡色条纹。前翅缘前脉区为淡绿色；前缘脉区和径脉区为赤褐色；中脉区及臀脉区为深绿色；发音区为淡褐色；翅室内具细小的暗点。

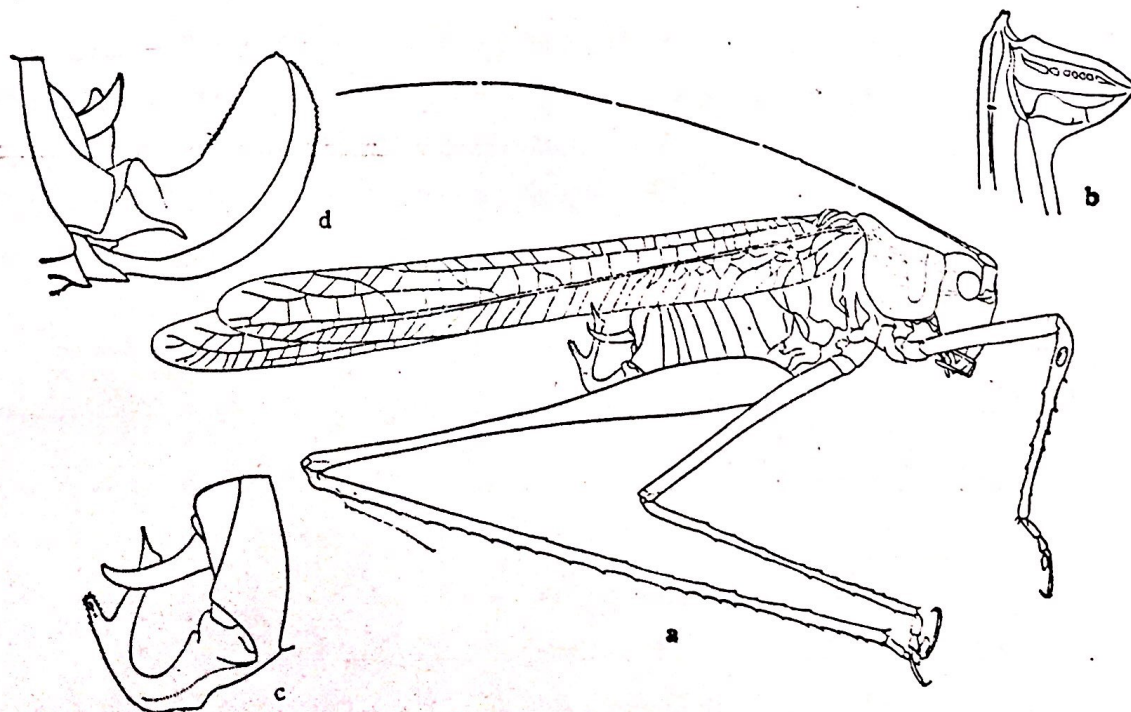


图1 歧异条螽 *Alloducetia bifurcata* Hsia et Liu, 新种

a. 雄性整体侧观； b. 雄性左前翅发音部； c. 雄性腹端侧视； d. 雌性腹端侧视。

雌性：前翅不到达后足股节端部，后翅稍长于前翅。产卵瓣侧扁，强向上弯曲，边缘具细钝圆齿。生殖突基片特化，端部具一伸长的尖端，下生殖板三角形，端部具一小凹缺。



体长♂15—17 mm, ♀17—19 mm, 前胸背板长♂3.8—4 mm, ♀4 mm; 前翅长♂23—24 mm, ♀21—22 mm; 后足股节长♂18—20 mm, ♀20—21 mm; 产卵瓣长5 mm。  
正模♂, 配模♀, 副模1♂♂5♀♀, 贵州省贵阳黔灵山, 1988. IX. 29。

5. 日本条蝻 *Ducetia japonica* (Thunberg)

分布: 湖南(慈利、大庸、古丈、吉首), 四川(黔江), 贵州(江口梵净山、雷山)。

6. 中华条蝻 *Ducetia chinensis* (Brunner)

分布: 湖南(大庸)。

7. 奇异安蝻 *Anisotima dispar* Bey.-Bienko

分布: 湖南(大庸)。

8. 细齿平背蝻 *Isopsera denticulata* Ebner

分布: 湖南(慈利、大庸), 四川(黔江), 贵州(江口梵净山、雷山)。

9. 显沟平背蝻 *Isopsera sulcata* Bey.-Bienko

分布: 湖南(慈利、大庸), 贵州(江口、雷山)。

10. 黑角平背蝻 *Isopsera nigroantennata* Hsia et Liu, 新种 (图2)

雄性: 体型中等。头顶狭于触角第1节的宽, 到达触角窝内隆缘顶端, 与颜顶几乎相接触, 背面具沟。复眼圆形, 突出。前胸背板背面较平坦, 前缘稍内凹, 后缘呈宽圆形, 侧隆线或多或少明显。前横沟不明显, 中横沟较明显, “V”字形位于中部稍偏前。前胸背板侧片长与高几乎相等, 下缘圆形, 后缘肩凹较浅。前足基节具刺; 前足股节腹面内缘具3—4小刺; 前足胫节背面具沟, 除外端距外, 在听器端部处具一小背距; 中足股节腹面外

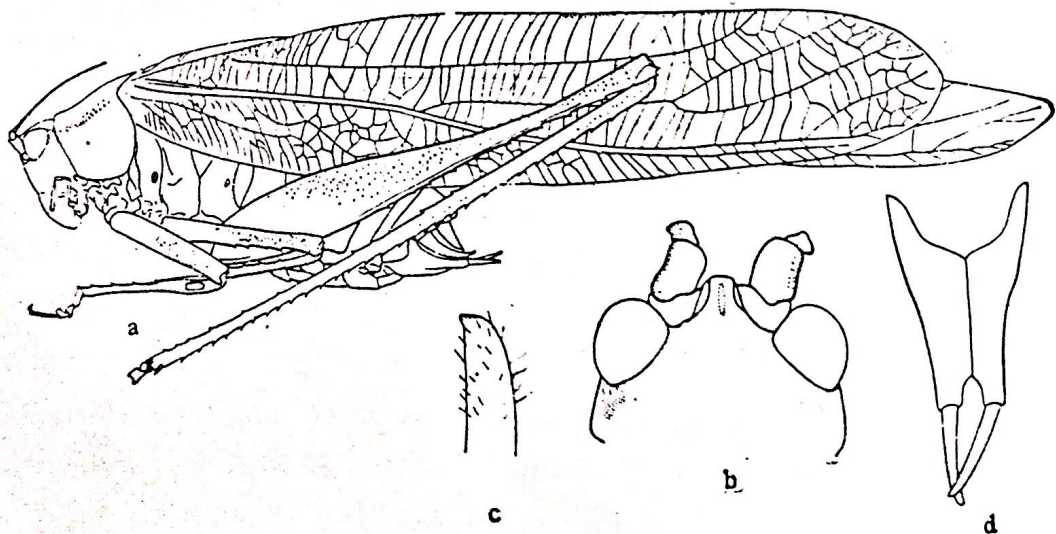


图2 黑角平背蝻 *Isopsera nigroantennata* Hsia et Liu, 新种  
a. 雄性整体侧观; b. 雄性头部背观; c. 雄性尾须端部; d. 雄性下生殖板腹观。



缘具1—3小刺；后足股节腹面内、外缘各具7—8小刺，后足胫节背面内缘及外缘各具28—32小刺。前翅较长，颇远地超过后足股节端部，Rs脉从R脉中部之前分出，中部分为两枝；后翅长于前翅。第10腹节背板后缘平截，肛上板三角形。尾须圆柱形，向端部稍趋细，顶端具一小刺(图2: c)。下生殖板狭长，后缘在腹刺之间具深的“V”形凹口；腹刺细长，约为裂叶长的3.5倍(图2: d)。

体黄绿色。触角黑色，具稀疏的白色环纹，基部两节外侧黑褐色。头部复眼后方和前胸背板侧片前部具黑褐色纵带。前翅黄绿色沿前缘和Sc脉具淡褐色，M脉和 $M_2 + Cu_1$ 脉具黑褐色。足具暗黑色刻点，后足股节背面尤为明显，后足胫节背面暗色。尾须背部具暗色纵纹。

雌性：体形大小与外貌和雄性基本相似，前翅稍长。尾须较短，圆锥形。下生殖板三角形，端部钝圆。产卵瓣较短，上瓣不长于下瓣，背缘向上呈钝角形弯曲，腹缘弧形弯曲，具细钝圆齿。

体长♂24mm，♀24—28mm；前胸背板长♂6mm，♀6—6.5mm；前翅长♂38—41mm，♀42—45mm；后足股节长♂25—27mm，♀27—29mm；产卵瓣长6—7mm。

正模♂，四川峨眉山，1987. VIII. 11。配模♀，安徽黄山，1980. X. 5。副模2♂♂，安徽黄山，1983. IX. 1；2♂♂，湖南慈利，1988. IX. 4；1♀，浙江天目山，1962. VIII. 10。

本新种与刺突平背蚤 *Isopsera stylata* Brunner 和短顶平背蚤 *Isopsera brevissima* Shiraki 近似，区别在于前足和中足股节腹面具小刺，触角黑色，具稀疏的白色环纹。

### 11. 褐斜缘蚤 *Deflorita deflorita* (Brunner)

分布：湖南(慈利、大庸)。

### 12. 台湾奇蚤 *Mirollia formosana* Shiraki

分布：湖南(慈利)。

### 13. 中华半掩蚤 *Hemielimaea chinensis* Brunner

分布：湖南(大庸)、四川(黔江)、贵州(江口梵净山、雷山)。

### 14. 双带麻蚤 *Tapiena bivittata* Hsia et Liu, 新种 (图3)

雌性：体形中等，头部背面和前胸背板密被刻点和细纹。头部背面稍平坦，颜面侧观近乎垂直。头顶较短和较低，稍狭于触角第1节的宽，与颜顶相接触，背面具沟。复眼圆形，突出。下颚须细长，第5节长与第3节和第4节之和约等长。前胸背板背面平坦，前缘微凹，后缘宽圆，侧隆线平行。前足基节具刺；各足腹节腹面具小刺，膝叶端部无刺；前足胫节背面除外端距以外无背距，内听器为封闭型，外听器为开放型。后足胫节背面内缘及外缘各具19—25个小刺。前翅甚发达，远超过后足股节端部，Rs脉从R脉中部分出，中部分为两枝。后翅长于前翅。下生殖板短，三角形，端部钝圆。产卵瓣较短，边缘具细钝圆齿。

体绿色。头顶背面赤褐色，颜面除颊部以外褐色，复眼后方、前胸背板具狭纵带、前翅



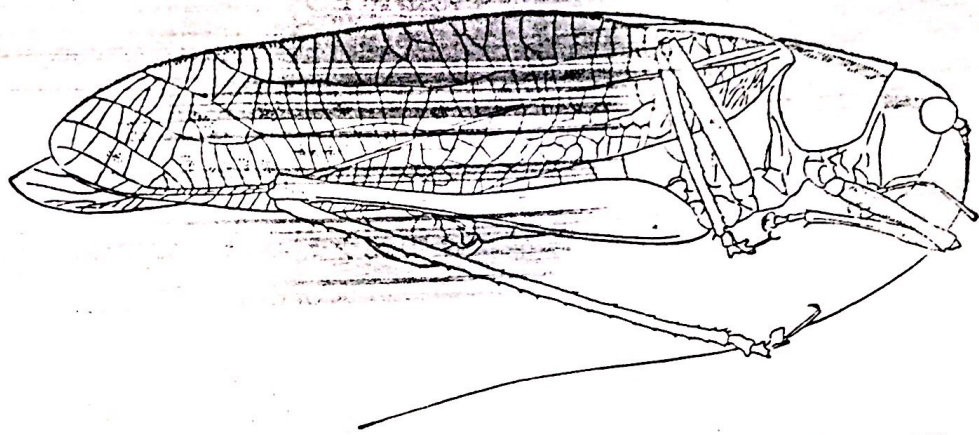


图3 双带麻螽 *Tapiena bivittata* Hsia et Liu., 新种 雌性整体侧观

具明显暗点, M脉和 Cu 脉暗黑色, 前足股节和前足胫听器周围具暗黑色斑纹。  
 体长♀ 23—25 mm; 前胸背板长♀ 6.2—6.5 mm; 前翅长♀ 35—36 mm; 后足股节长♀ 21—21.5 mm; 产卵瓣长 7.0 mm。

正模♀, 贵州梵净山, 1988. IX. 22。副模 1♀, 四川峨眉山, 1985. VIII. 18。  
 本新种与该属的已知种明显区别在于颜面除颊部外褐色, 复眼后方及前胸背板具狭的暗色纵带。前翅具明显暗点, M脉及 Cu 脉暗黑色。

15. 凸翅光颈螽 *Liotrachela convexipennis* Caudell

分布: 湖南(慈利、大庸)、四川(黔江)。

16. 截叶并脉螽 *Sympaestria truncato-lobata* Brunner

分布: 湖南(慈利、大庸)、四川(黔江)、贵州(江口梵净山)。

17. 黑带副缘螽 *Parapsyra nigrovittata* Hsia et Liu, 新种 (图4)

雄性: 体形中等。头部稍宽于前胸背板, 头顶三角形, 端部侧扁, 甚狭于触角第1节

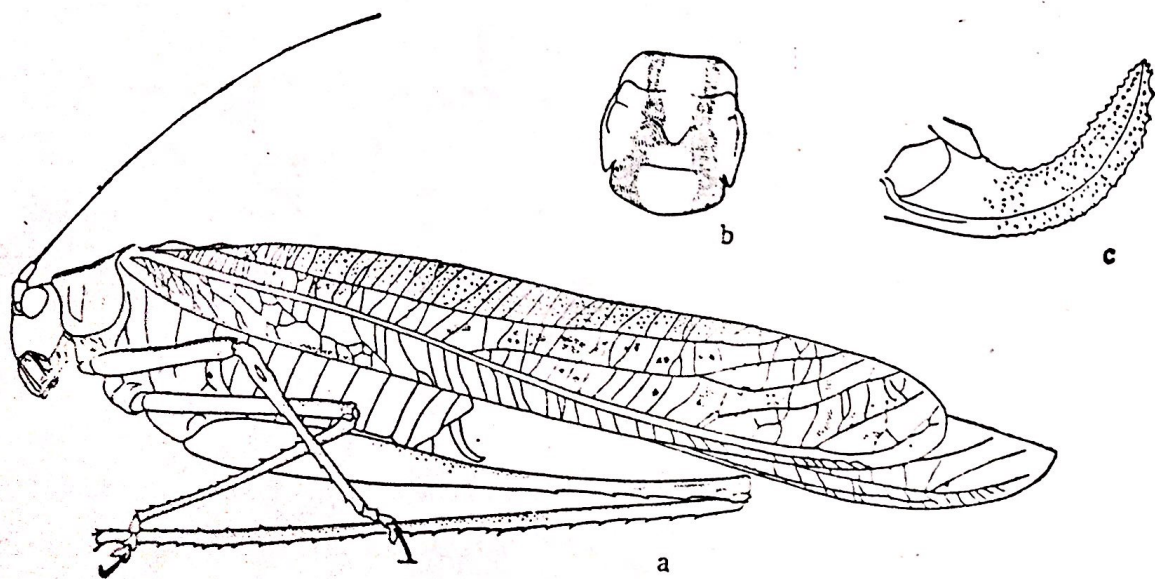


图4 黑带副缘螽 *Parapsyra nigrovittata* Hsia et Liu. 新种

a. 雄性整体侧观; b. 前胸背板背观; c. 产卵瓣侧观。



的宽,与颈顶不接触,背面具沟、复眼圆形,突出。前胸背板中部之前几乎不狭缩,沟后区扩大和稍扁平;后缘宽圆形,具甚弱的隆边;缺侧隆线。前胸背板侧片后缘肩凹明显。前足基节具刺;前足股节腹面内缘具2—3小刺,前足胫节背面具沟,具2—3外刺,前足胫听器内侧为封闭型,外侧为开放型。后足股节腹面内缘及外缘各具1—3小刺,膝叶端部具2刺;后足胫节背面内缘及外缘各具24—30小刺。前翅远超过后足股节顶端,前缘和后缘几乎平行,端缘圆形;C脉退化;Rs脉从R脉中部之前分出,具分枝。后翅略长于前翅。第十腹节背板不变形,肛上板三角形,端部钝。尾须较粗短,端部稍内弯,顶端具一小刺。下生殖板狭长,侧缘端半部平行,后缘在腹刺间具浅的凹口,腹刺较短粗。

体黄绿色。触角黑色,具稀疏的白色环纹。头部及前胸背板背面赤褐色,前胸背板具黑色侧条纹(图4:b)。前翅黄绿色或黄褐色,具细小的暗色散点,前翅前缘、发音部及后缘暗黑色。各足股节、胫节具暗黑色斑纹或全部为暗黑色。

雌性:下生殖板较短,三角形,端部圆钝,具中隆脊。产卵瓣约为前胸背板长的2倍,边缘具锐齿,表面密被颗粒状小齿(图4:c)。

体长♂22—27mm,♀24—26mm;前胸背板长♂4.8—5.3mm,♀5—5.5mm;前翅长♂38—44mm,♀41—46mm;后足股节长♂22.5—30mm,♀27.5—32mm;产卵瓣长10—11mm。

正模♂,配模♀,副模11♂♂2♀♀,湖南慈利索溪峪,1988. IX. 1—10。

分布:湖南、贵州、福建、四川。

本新种非常近似知名副缘螽 *P. notabilis* Carl, 1914。主要区别在于体形明显较小和产卵瓣较短,约为前胸背板长的2倍(后者约为前胸背板长的2.5倍)。

#### 18. 日本绿螽 *Holochlora japonica* Brunner

分布:湖南(吉首)。

#### 19. 长裂华绿螽 *Sinochlora longifissa* (Mats. & Shir.)

分布:湖南(慈利、大庸)。

#### 20. 中国华绿螽 *Sinochlora sinensis* Tinkham

分布:贵州(雷山)。

#### 21. 四川华绿螽 *Sinochlora szechwanensis* Tinkham

分布:湖南(大庸)、贵州(江口梵净山)。

#### 22. 绿掩耳螽 *Elimaea chloris* (Haan)

分布:湖南(慈利)。

#### 23. 疹点掩耳螽 *Elimaea punctifera* (Walker)

分布:湖南(慈利、大庸)。



24. 陈氏掩耳蝻 *Elimaea cheni* Yang et Kang

分布：湖南(慈利、大庸)、四川(黔江)、贵州(江口梵净山)。

拟叶蝻科 Pseudophyllidae

拟叶蝻亚科 Pseudophyllinae

25. 绿背覆翅蝻 *Tegra novaehollandiae-viridinotata* (Stål)

分布：湖北(利川、鹤峰)、湖南(大庸、古丈)。

纺织娘科 Mecopodidae

纺织娘亚科 Mecopodinae

26. 纺织娘 *Mecopoda elongata* (Linnaeus)

分布：湖南(慈利、大庸)、贵州(江口梵净山)。

蛩蝻科 Meconematidae

蛩蝻亚科 Meconematinae

27. 秋吟蝻 *Phlugiolopsis fallax* Hsia et Liu, 新种(图5)

雄性：体甚小，具光泽和略透明。头顶圆锥形，较短，端部钝圆，背面具沟。复眼圆

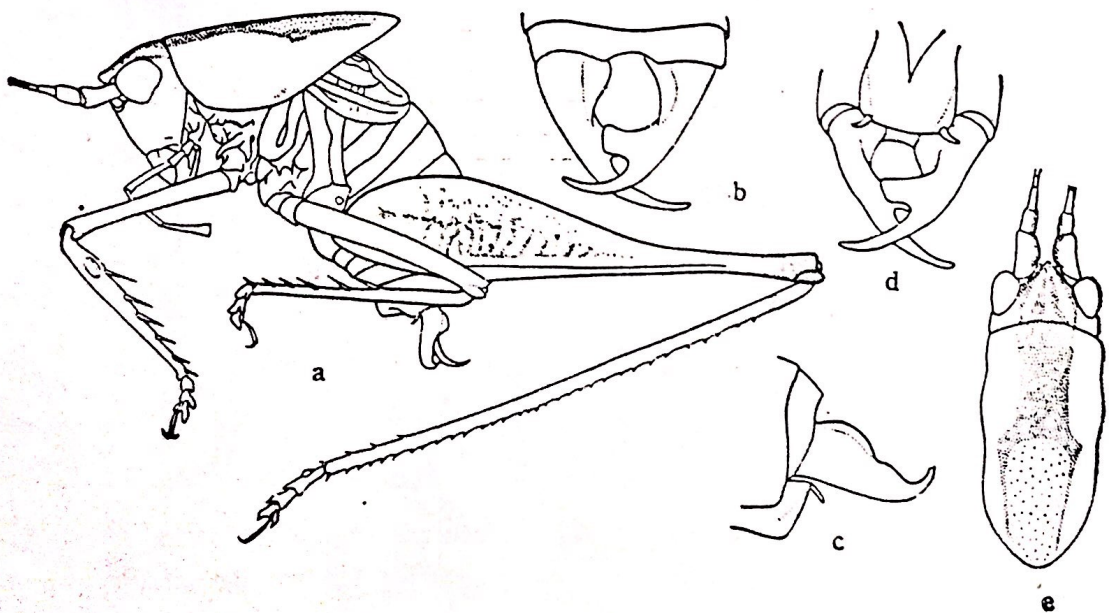


图5 秋吟蝻 *Phlugiolopsis fallax* Hsia et Liu, 新种

a. 雄性整体侧观； b. 雄性腹端背观； c. 雄性腹端侧观； d. 雄性腹端腹观； e. 雄性头部及前胸背板背观。



形,突出。下颚须细长,第5节与第4节约等长,端部稍扩大。前胸背板向后延长,侧片后缘倾斜,无肩凹。前足基节具刺。各足股节腹面无刺。前足胫节内、外刺排列形式为4,5(1,1)型;后足胫节背面内缘及外缘各具29—32小刺。前翅甚小,稍露出前胸背板后缘之外,从背面可见。后翅缺如。第10腹节背板后缘中央具浅凹口。尾须较长,基部较厚实,内侧凹陷,上端形成较宽扁的附叶;中部具一较大的内叶,端部平截;端部较细,向内上方弯曲(图5: b—d)。

体淡褐色。头部背面具4条暗色纵带(图5: e);前胸背板具暗色宽纵带,沟后区中域色甚淡,后足股节膝部暗色。

体长8mm;前胸背板长4mm;前翅长1.7mm;后足股节长8.1mm。

正模♂,湖南衡山,1986. IX. 31。

本新种与亨利吟螽 *Ph. henryi* Zeuner 近似,明显区别在于雄性尾须基部甚厚实,内侧凹陷,上端形成较宽扁的附叶;中部具一较大的内叶,端部平截。

## 28. 短尾吟螽 *Phlugiolopsis brevis* Hsia et Liu, 新种 (图6)

雄性:体甚小,具光泽和稍透明。头顶圆锥形,端部较钝圆,背面具沟。复眼圆形,突出。下颚须细长,第5节稍长于第4节,端部稍扩大。前胸背板强向后延长,侧片较低,后缘倾斜,无肩凹。前足基节具刺,各足股节腹面无刺。前足胫节腹面内、外刺排列形式为4,4(1,1)型。前足胫节内、外两侧听器均为开放型,后足胫节背面内缘及外缘各具24—27小刺。前翅小,隐藏在前胸背板之下,但从侧面可见。无后翅。第10腹节背板后缘波曲形。尾须短,基部三分之二内侧强凹陷,其边缘形成较宽扁的附叶;端部三分之一甚细,圆锥形,强内弯(图6: a)。下生殖板向端部趋狭,后缘平截。腹刺较细长,位于下生殖板亚端两侧。

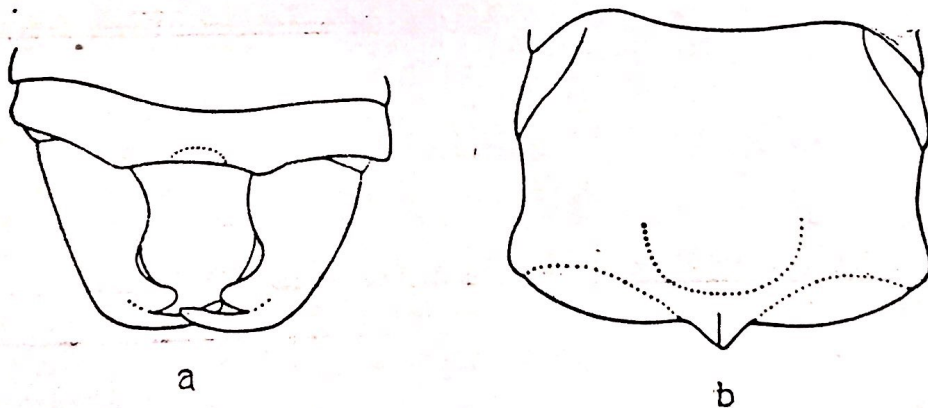


图6 短尾吟螽 *Phlugiolopsis brevis* Hsia et Liu, 新种

a. 雄性腹端背观; b. 雌性下生殖板腹观。

体淡黄褐色,腹部淡褐色。头部背面具4条甚不明显的淡褐色纵条纹,前胸背板背面具甚不明显的淡褐色宽纵带。

雌性:前足胫节内、外刺排列形式为4,5(1,1)型。前翅稍露出前胸背板之外,从背面可见。下生殖板大,横宽,后缘宽圆,中央向后突出和强隆起(图6: b)。产卵瓣短宽,端半部稍向上弯,腹瓣端部具一小钩。

体长♂8.5mm,♀8.2mm;前胸背板长♂4.5mm,♀4mm;后足股节长♂7mm,♀8.5mm;产卵瓣长5mm。



正模♂, 配模♀, 湖南慈利索溪峪, 1988. IX. 4。

本新种与 *Ph. yaeyamensis* Yamamoto 和 *Ph. minuta* (Tinkham) 较近似, 主要区别在于雄性尾须基部三分之二内侧强凹陷, 其边缘形成较宽扁的附叶; 端部三分之一甚细, 圆锥形, 强内弯。雌性下生殖板后缘中央向后突出和隆起。

### 29. 瘤突吟蚤 *Phlugiolopsis tuberculata* Hsia et Liu, 新种 (图 7)

雄性: 体形较前两种略小, 具光泽和稍透明。第 10 腹节背板后缘具一对小突起, 突起之间微凹陷。尾须基部五分之三甚粗壮, 内侧凹陷, 上部形成较大的宽扁附叶(图 7: a); 尾须端部五分之二较细, 向内呈直角弯曲。下生殖板向端部趋狭, 后缘圆形; 腹刺较细长, 位于下生殖板的亚端两侧。

体淡黄色, 腹部为暗褐色, 触角具稀疏的暗色环纹, 各足股节膝叶暗褐色。

雌性: 第 8 腹节背板两侧各具一个小瘤突(图 7: b)。下生殖板甚大, 横宽, 后缘轻微地内凹, 侧角圆形并稍下弯。产卵瓣较短而宽, 端部较弱地向上弯曲, 腹瓣顶端具一个小钩。

体长♂7.5mm, ♀8mm; 前胸背板长♂3.2mm, ♀3.5mm; 后足股节长♂6.5mm, ♀7mm; 产卵瓣长4mm。

正模♂, 配模♀, 贵州贵阳黔灵山, 1988. IX. 29。

本新种近似短尾吟蚤 *Phlugiolopsis brevis* 主要区别在于雄性第 10 腹节背板后缘具 2 个小突起。雄性尾须较长, 基部五分之三甚厚实, 内侧凹陷, 上部形成宽而扁的附叶; 尾须端部五分之二甚细, 向内呈直角弯曲。雌性下生殖板的后缘轻微地内凹, 侧角圆形和稍下弯。

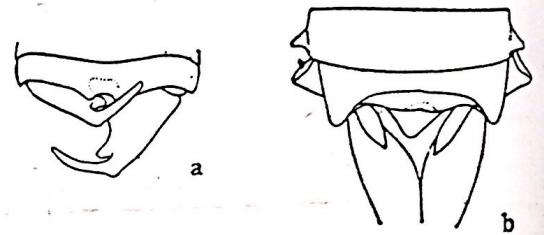


图 7 瘤突吟蚤 *Phlugiolopsis tuberculata* Hsia et Liu, 新种

a. 雄性腹端背视; b. 雌性腹端背视。

### 30. 杂色刺膝蚤 *Cyrtopsis variabilis* Hsia et Liu, 新种 (图 8)

雄性: 体小形, 甚粗壮, 具光泽。头部较短宽, 与前胸背板前部约等宽。头顶圆锥形, 较短, 端部钝圆, 背面具沟。复眼圆形, 突出。下颚须细长, 第 5 节长于第 4 节, 端部稍扩大。前胸背板向后延长, 沟后区强隆起; 侧片较低, 后缘缺肩凹。前足基节具刺; 各足股节腹面缺刺, 膝叶端部具小刺; 前足胫节腹面内、外刺排列形式为 4, 4(1, 1) 型。后足胫节背面内缘及外缘各具 18—21 小刺。前翅小, 强膨胀, 端部露出前胸背板后缘之外; 具发音器。后翅缺如。第 10 腹节背板后缘具一对圆形的裂叶; 肛上板与第 10 腹节背板几乎融为一体, 稍向后下斜。尾须较简单, 端部三分之一强向内弯成钩形(图 8: b)。下生殖板较宽大, 后缘具较深而宽的凹口; 腹刺位于下生殖板裂叶的端部, 较短。

体杂色。触角具较稠密的暗色环纹。头部背面及颜面具黑褐色斑纹, 头顶淡色。前胸背板及足具不规则的黑褐色斑纹, 前胸背板沟后区两侧各具一明显的大黄斑。前足胫节基部和端部, 中足和后足胫节端部, 各跗节暗色。前翅近端部具一暗斑。腹部具黑褐色斑纹。

体长 11mm; 前胸背板长 5mm; 前翅长 3mm; 后足股节长 12mm。

正模♂, 贵州雷山雷公山, 1988. VI. 30。



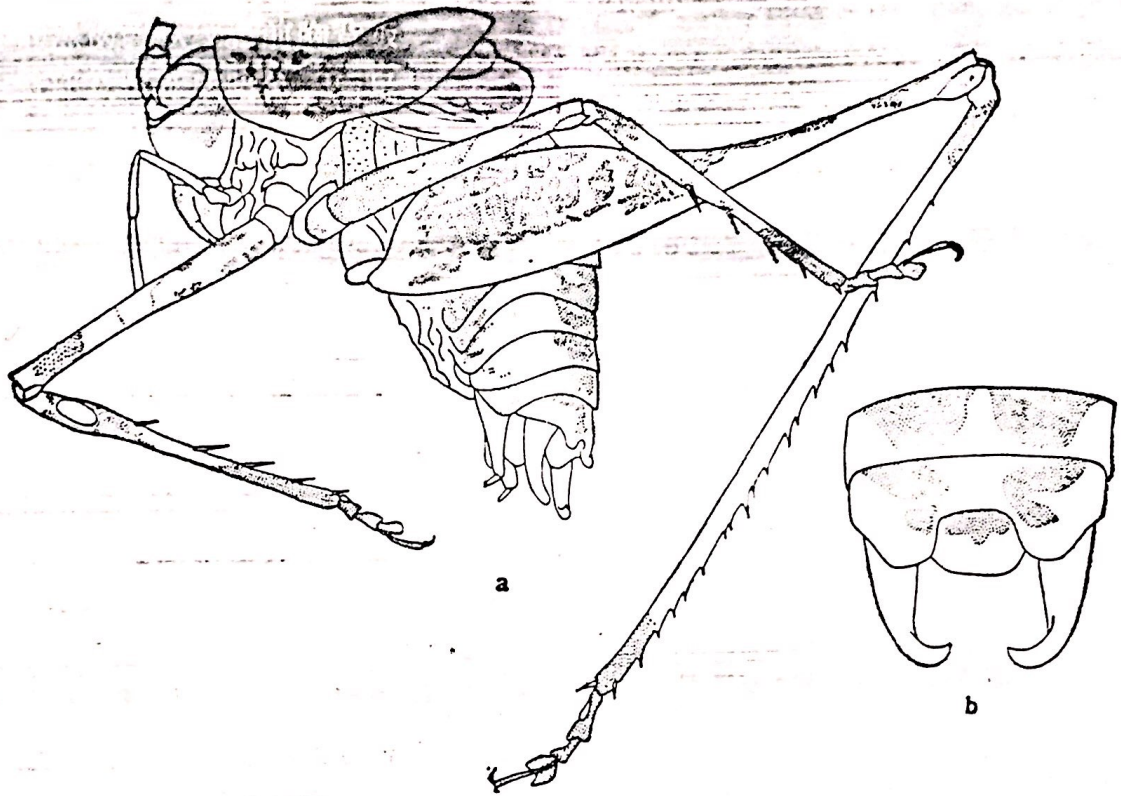


图8 杂色刺膝螽 *Cyrtopsis variabilis* Hsia et Liu, 新种  
a. 雄性整体侧观; b. 雄性腹端背观。

本新种与负壳刺膝螽 *C. scutigera* Bey-Bienko 近似, 区别在于体杂色; 雄性第10腹节背板后缘具一对圆形侧叶, 肛上板与第10腹节背板几乎融为一体; 尾须简单, 端部三分之一向内弯成钩形。

31. 白角纤畸螽 *Leptotectura albicorne* (Motschulsky)

分布: 湖南(慈利、大庸)。

32. 四川剑螽 *Xiphidiopsis szechwanensis* Tinkham

分布: 湖南(慈利、大庸)。

33. 匙尾剑螽 *Xiphidiopsis spathulata* Tinkham

分布: 湖北(鹤峰)。

34. 湖南剑螽 *Xiphidiopsis hunanensis* Hsia et Liu, 新种

雄性: 头部稍宽于前胸背板。头顶向前呈圆锥形突出, 顶端较钝, 背面具沟。复眼圆形, 突出。下颚须第5节与第4节约等长, 端部扩大。前胸背板侧片后缘强倾斜, 肩凹不明显。前足基节具刺, 各足股节腹面无刺。前足胫节腹面内、外刺排列形式为4, 5(1, 1)型, 后足胫节背面内缘和外缘各具30—33个小刺。前翅甚长, 颇远地超过后足股节端部; 后翅稍长于前翅。第10腹节背板不变形, 后缘稍内凹。尾须较细长, 基半部圆柱形, 端半部侧扁, 内侧强凹陷; 侧观尾须中部稍狭缩。下生殖板甚短, 后缘平截, 腹刺位于亚端两侧。



体黄绿色。头部背面(除头顶外)暗褐色,具4条不甚明显的黑褐色纵纹。前胸背板背面暗褐色,具黑褐色侧条纹。前翅暗褐色,具稀疏的暗点,发音部及臀脉成暗色。后足股节膝叶端部具黑斑。

雌性:第9腹节背板两侧各具一甚明显的瘤突。尾须较细长,端部较尖。下生殖板圆三角形,中央凹陷,具明显的侧隆线。产卵瓣较宽短,端半部稍向上弯曲,下瓣顶端具一小钩。

体长♂11.5—12mm,♀10—11mm;前胸背板长♂3.5mm,♀3.5—3.8mm;前翅长♂17—18mm,♀18—19mm;后足股节长♂10—10.5mm,♀10.5—11mm;产卵瓣长6mm。

正模♂,配模♀,副模5♂♂16♀♀,湖南大庸张家界,1988. IX. 10—12。

本新种酷似匙尾剑螽 *X. spathulata* Tinkham, 1944。区别在于体形明显较大,前足胫节听器区非暗黑色,雌性第9腹节背板两侧各具一甚明显的瘤突。

### 35. 斑翅剑螽 *Xiphidiopsis maculata* Hsia et Liu, 新种 (图9)

雄性:体小形。头顶圆锥形,顶端圆钝,背面具沟。复眼圆形,突出。下颚须第5节与第4节约等长,端部扩大。前胸背板沟后区稍扩张,前胸背板侧片后缘肩凹不明显。前足基节具刺;各足股节腹面无刺;前足胫节腹面内、外刺排列形式为4,5(1,1)型;后足胫节背面内缘和外缘各具34—37小刺。前翅发达,颇远地超过后足股节端部;后翅长于前翅。第十腹节背板不变形,后缘微凹形。尾须较短粗,端部三分之一强侧扁,内侧凹陷(图9:a);侧观端部稍扩宽(图9:b)。下生殖板较短,后缘平截;腹刺较短粗,位于下生殖板亚端两侧。

体黄褐色。头部背面深褐色,具4条较模糊的暗黑色纵纹,近头顶基部处聚合,延伸至头顶端部。前胸背板背面暗褐色,具暗黑色的侧条纹。后胸侧壁暗黑色。前翅具较多的烟褐色斑点。前足胫节听器区黑色,后足股节膝叶端部具黑色狭边,后足胫节背缘刺淡褐色。

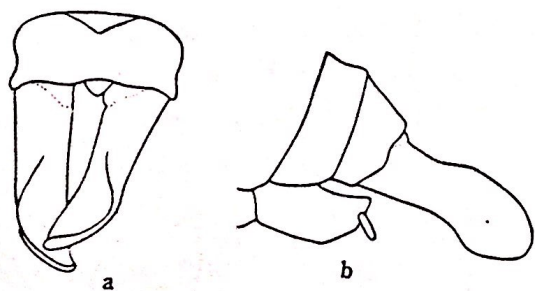


图9 斑翅剑螽 *Xiphidiopsis maculata* Hsia et Liu, 新种

a. 雌性腹端背观; b. 雄性腹端侧观。

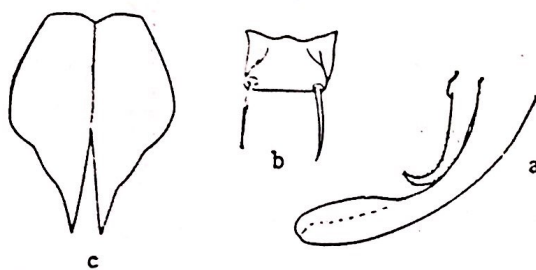


图10 裂剑螽 *Xiphidiopsis fissa* Hsia et Liu, 新种

a. 雄性尾须; b. 雄性阳茎端突; c. 雌性下生殖板腹观。

雌性:下生殖板为圆三角形,中央全长具较宽的纵沟。

体长♂12mm,♀10.5—11mm;前胸背板长♂3.5—3.8mm;♀3—3.5mm;前翅长♂17mm,♀18—19mm;后足股节长♂10.5mm,♀10.5—11.5mm;产卵瓣长



5.5mm。

正模♂, 配模♀, 副模 1♂13♀♀, 湖南慈利索溪峪, 4—12.IX. 1988。

本新种与匙尾剑螽 *X. spatulata* Tinkham 非常近似, 明显区别在于头顶背面具黑褐色纵纹, 后胸侧壁暗黑色, 前翅具较多的烟褐色斑点。雄性尾须较粗短, 端部三分之一强侧扁, 内侧凹陷, 侧观端半部稍扩宽。

### 36. 裂剑螽 *Xiphidiopsis fissa* Hsia et Liu, 新种 (图 10)

雄性: 体形甚小。头顶圆锥形, 端部钝, 背面具沟。复眼圆形, 突出。下颚须第 5 节不短于第 4 节, 端部扩大。前胸背板侧片较低, 后缘肩凹较明显。前足基节具刺; 各足胫节腹面无刺; 前足胫节腹面内、外刺排列形式为 4, 5(1, 1) 型; 后足胫节背面内缘及外缘各具 23—30 小刺。前翅稍超过后足股节端部, 后翅长于前翅。第 10 腹节背板不变形, 后缘中央稍凹。尾须细长, 基部具较长的刺状内突, 密布细微的刺; 尾须端部三分之一朝背方扩宽和侧扁(图 10: a), 阳基端突颇发达, 在尾须之间向后伸出, 方形, 侧端各具一长刺(图 10: b)。

体淡绿色。前胸背板具一对平行的黄色侧条纹, 后足胫节背缘刺褐色。

雌性: 前翅到达或超过产卵瓣端部。下生殖板狭长, 深裂成两狭尖的裂叶(图 10: c), 具中隆线。

体长 ♂9—9.5 mm, ♀9.5—10 mm; 前胸背板长 ♂3—3.2 mm, ♀3 mm; 前翅长 ♂10.5—14mm, ♀12—15.5mm; 后足股节长 ♂9—10 mm, ♀9.5—10.5 mm; 产卵瓣长 5.5—6mm。

正模♂, 配模♀, 副模 3♂♂8♀♀, 湖南慈利县索溪峪, 1988. IX. 1—4。

本新种与苏门达腊的 *X. bolivari* Karny 近似, 区别在于雄性尾须基部具较长的刺状内突; 尾须端部三分之一朝背方扩宽和侧扁。阳基背片甚发达, 在尾须之间向后伸出, 矩形, 端部两侧各具一长刺。雌性下生殖板深裂为两狭尖的裂叶。

### 37. 大剑螽 *Xiphidiopsis magna* Hsia et Liu, 新种 (图 11)

雄性: 体形稍大, 较粗壮。头顶圆锥形, 端部圆钝, 背面具沟。复眼圆形, 突出。下颚须细长, 第 5 节与第 4 节约等长, 端部稍扩大。前胸背板沟后区侧观微隆起; 前胸背板侧片后缘肩凹较明显。前足基节具刺; 前足胫节腹面内、外刺排列形式为 4, 5(1, 1) 型; 后足胫节背面内缘及外缘各具 24—26 小刺。前翅甚长, 颇远地超过后足股节端部; 后翅稍长于前翅。第十腹节背板不变形, 后缘中央稍凹, 表面具一半圆形的凹痕。尾须较简单, 中部具一较宽的内叶, 边缘波曲形(图 11: a)。

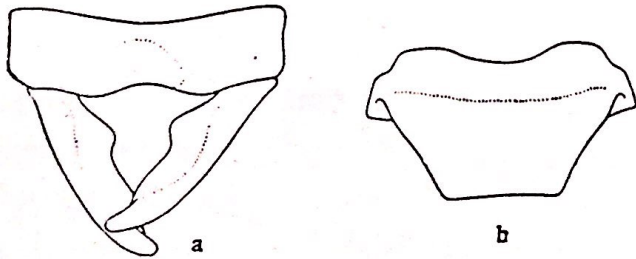


图 11 大剑螽 *Xiphidiopsis magna* Hsia et Liu, 新种

a. 雄性腹端背观; b. 雌性下生殖板腹观。

体黄绿色。前胸背板具黑褐色侧条纹, 后足胫节背缘刺黑褐色。

雌性: 第 7 腹板后部稍隆起。下生殖板横宽, 端部三分之二趋狭(图 11: b),



后缘平截,具侧隆线。产卵瓣几乎与后足股节等长,较平直。

体长♂12—14.5mm, ♀12—14mm; 前胸背板长♂4.5—5mm, ♀4.2—4.7mm; 前翅长♂19—22mm, ♀20—25mm; 后足股节长♂10.5—12mm, ♀11—12.5mm; 产卵瓣长10—12.5mm。

正模♂,配模♀,副模2♀♀,贵州省梵净山,1988.VII.12—14。

本新种与尾幼剑螽 *X. appendiculata* Tinkham 较近似,明显区别在于体形较大和粗壮;前胸背板具暗褐色侧条纹;雄性尾须中部具一甚宽的内叶,边缘波曲形。雌性下生殖板横宽,端部三分之二强趋狭,后缘平截,具侧隆线。

38. 贵州剑螽 *Xiphidiopsis kweichowensis* Tinkham

分布: 贵州(江口梵净山)。

39. 凹缘剑螽 *Xiphidiopsis emarginata* Tinkham

分布: 湖南(慈利)。

40. 贺氏剑螽 *Xiphidiopsis howardi* Tinkham

分布: 湖南(慈利、大庸)。

41. 巨叉剑螽 *Xiphidiopsis megafurcula* Tinkham

分布: 湖南(慈利、大庸)。

42. 铃木剑螽 *Xiphidiopsis suzukii* (Matsumura et Shiraki)

分布: 湖南(慈利)。

43. 犀尾剑螽 *Xiphidiopsis capricerca* Tinkham

分布: 湖南(慈利)。

44. 格尼剑螽 *Xiphidiopsis gurneyi* Tinkham

分布: 湖北(利川)。

45. 中华剑螽 *Xiphidiopsis sinensis* Tinkham

分布: 湖北(利川)。

46. 双瘤剑螽 *Xiphidiopsis bituberculata* Ebner

分布: 湖南(慈利、大庸)。

47. 基凹剑螽 *Xiphidiopsis excavata* Hsia et Liu, 新种(图12)

雌性: 体形甚小。头顶圆锥形,端部较圆钝,背面具沟。复眼圆形,突出。下颚须较细长,第5节端部稍扩大。前胸背板侧片后缘肩凹不甚明显。前足基节具刺;各足股节腹



面无刺；前足胫节腹面内、外刺排列形式为 4, 5(1, 1) 型；后足胫节背面内缘及外缘各具

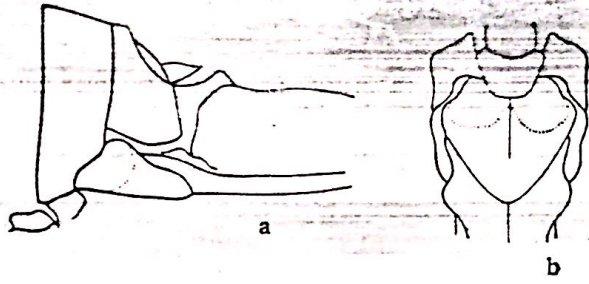


图 12 基凹剑螽 *Xiphidiopsis excavata* Hsia et Liu, 新种

a. 雌性腹端侧观； b. 雌性腹端腹观。

27—29 小刺。前翅甚发达，颇远地超过后足股节端部；后翅稍长于前翅。第 8 腹节背板后缘具较明显的侧凹（图 12: a），第 7 腹板稍向后突出，覆盖下生殖板基部，下生殖板圆三角形，基半部中央强收缩，两侧深凹陷，具明显的中隆脊（图 12: b）。产卵瓣较短，稍向上弯曲。

体淡绿色。触角具稀疏的暗色环纹，前翅具少量较明显的暗点，后足股节

膝叶端部具黑斑，后足胫节背缘刺褐色。

体长 ♀ 7—9mm；前胸背板长 ♀ 2.8—3mm；前翅长 ♀ 14.5—15mm；后足股节长 ♀ 8—9mm；产卵瓣长 5.5—5.8mm。

正模 ♀，副模 9 ♀♀，湖南慈利索溪峪，1988. IX. 1—12。

本新种与双瘤剑螽 *X. bituberculata* Ebner 和压痕剑螽 *X. impressa* Bey-Bienko 较近似，区别在于前翅具少量较明显的暗点，雌性第 8 腹节背板后缘具侧凹，下生殖板圆三角形，基半部中央强收缩，侧面深凹陷，具明显的中隆脊。

#### 48. 长突剑螽 *Xiphidiopsis elongata* Hsia et Liu, 新种 (图 13)

雄性：体小形。头顶圆锥形，端部较钝，背面具沟。复眼圆形，突出。下颚须第 5 节

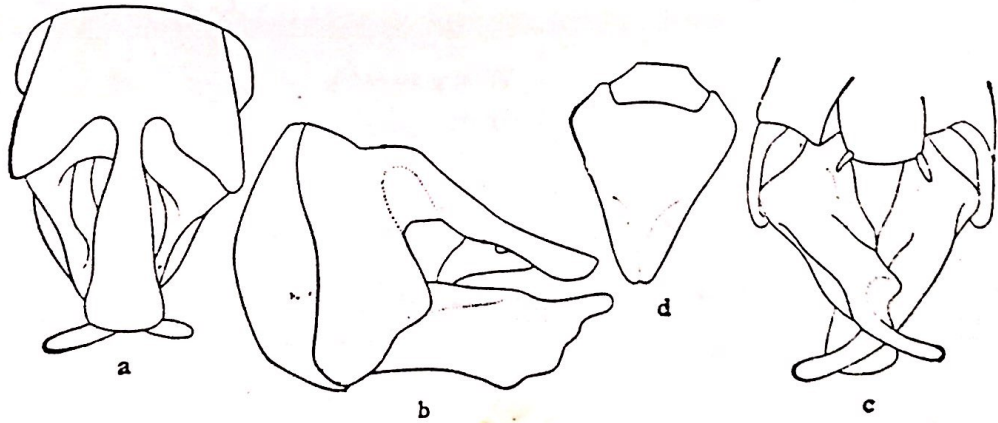


图 13 长突剑螽 *Xiphidiopsis elongata* Hsia et Liu, 新种

a. 雄性腹端背观； b. 雄性腹端侧观； c. 雄性腹端腹观； d. 雄性下生殖反腹观。

与第 4 节约等长，端部稍扩大。前胸背板侧片后缘肩凹甚明显。前足基节具刺；前足胫节腹面内、外刺排列形式为 4, 5(1, 1) 型；后足胫节背面内缘及外缘各具 26—30 小刺。前翅甚发达，颇远地超过后足股节端部；后翅长于前翅。第 10 腹节背板后缘中部强向后延长，基部稍侧扁和隆起，其余部分扁平，侧缘下弯，顶端圆截形（图 13: a）；腹面具一较大的突起，前端指向腹方（图 13: b）。尾须基半部朝背腹向扩宽，内部稍凹陷，内中部具一斜置的附叶；尾须端半部趋细，向内上方弯曲。下生殖板较小，后缘稍凸形；腹刺较短粗，位于后缘两侧。



体淡黄绿色。触角具稀疏的暗色环纹,前翅发音部暗色,后足股节膝叶端部具黑斑,后足胫节背缘刺黑褐色。

雌性:下生殖板甚狭长,向端部强后狭(图13: d),端半部具纵沟。产卵瓣几乎与后足股节等长,较平直。

体长 ♂10mm, ♀10mm; 前胸背板长 ♂3.5mm, ♀3—3.2mm; 前翅长 ♂16.5—17mm, ♀17—17.5mm; 后足股节长 ♂9.5mm, ♀9.5mm; 产卵瓣长 9mm。

正模♂,配模♀,副模 6♂♂2♀♀,湖南慈利索溪峪,1988. IX. 1—6。

本新种与歪突剑螽 *X. irregularis* Bey-Bienko 近似,但雌性下生殖板形状与尾幼剑螽 *X. appendiculata* Tinkham 非常相似,主要区别在于后足股节膝叶端部具明显的黑斑,雄性第10腹节背板后缘中部强向后延长,基部稍侧扁和隆起,其余部分扁平,侧缘下弯,顶端圆截形;腹面中央具一较大的突起,前端指向腹方。雄性尾须基半部向背腹方扩宽,内部稍凹陷,内侧中部具一斜置的附叶,尾须端半部趋细,向内上方弯曲。

#### 49. 黑膝剑螽 *Xiphidiopsis geniculata* Bey-Bienko

分布: 四川(黔江)。

#### 50. 佩带剑螽 *Xiphidiopsis cincta* Bey-Bienko

分布: 湖南(大庸)、四川(黔江)、贵州(雷山)。

#### 51. 斑腿剑螽 *Xiphidiopsis fascipes* Bey-Bienko

分布: 湖南(慈利、大庸)。

### 草螽科 Conocephalidae

#### 猎螽亚科 Listroscolidinae

#### 52. 日本似织 *Hexacentrus japonicus* Karny

分布: 湖南(慈利、大庸)。

#### 53. 素色似织 *Hexacentrus unicolor* Serville

分布: 贵州(江口梵净山)。

#### 草螽亚科 Conocephalinae

#### 54. 比尔锥尾螽 *Conanalus pieli* (Tinkham)

分布: 湖南(慈利、大庸)。

#### 55. 长瓣草螽 *Conocephalus gladius* (Redtenbacher)

分布: 湖南(慈利、大庸、古丈)、贵州(江口梵净山)。



56. 长翅草螽 *Conocephalus longipennis* (Haan)

分布: 湖南(吉首)。

57. 斑翅草螽 *Conocephalus maculatus* (Le Guillou)

分布: 湖南(吉首)、四川(秀山)、贵州(玉屏)。

58. 鸣草螽 *Conocephalus melas* (Haan)

分布: 湖南(慈利、大庸、吉首)、贵州(贵阳)。

角螽亚科 Copiphorinae

59. 鼻优草螽 *Euconocephalus nasutus* (Thunberg)

分布: 贵州(江口梵净山)。

60. 优草螽 *Euconocephalus* sp.

分布: 贵州(江口梵净山)。

61. 疑钩额螽 *Ruspolia dubia* (Redtenbacher)

分布: 贵州(贵阳)。

62. 线条钩额螽 *Ruspolia lineosa* (Walker)

分布: 湖南(慈利)、贵州(江口梵净山)。

63. 粗头拟矛螽 *Pseudorhynchus crassiceps* (Haan)

分布: 湖南(慈利)。

鼓螽科 Tympanophoridae

64. 中华摩尔螽 *Mortoniellus sinicus* Bey-Bienko

分布: 湖南(慈利)。

螽科 Tettigoniidae

盾螽亚科 Decticinae

65. 牯岭囊螽 *Atlantiscus (Atlantiscus) kulingensis* Tinkham

分布: 湖南(慈利、大庸、古丈)。



66. 中华蝈蝈 *Gampsocleis sinensis* (Walker)

分布：湖南(大庸)。

蝈亚科 Tettigoniinae

67. 中华蝈蝈 *Tettigonia chinensis* Willemse

分布：湖南(大庸、古丈)、贵州(江口梵净山、雪山)。

二、蟋蟀总科 Grylloidea

蟋蟀科 Gryllidae

蟋蟀亚科 Gryllinae

68. 疹哑蟋 *Goniogryllus punctatus* Chopard

分布：湖南(大庸)。

69. 短翅灶蟋 *Grylloides sigillatus* (Walker)

分布：湖南(慈利)。

70. 小棺头蟋 *Loxoblemmus aomoriensis* Shiraki

分布：湖南(慈利)。

71. 石首棺头蟋 *Loxoblemmus equestris* Saussure

分布：湖南(慈利、大庸)。

72. 哈尼棺头蟋 *Loxoblemmus haani* Saussure

分布：贵州(江口梵净山)。

73. 德齐棺头蟋 *Loxoblemmus doenitzi* Stein

分布：湖南(慈利、大庸)、贵州(江口梵净山)。

74. 雅科棺头蟋 *Loxoblemmus jacobsoni* Chopard

分布：湖南(大庸)、四川(秀山)。

75. 黄脸油葫芦 *Teleogryllus emma* (Ohmachi et Matsuura)

分布：湖南(慈利)、贵州(江口梵净山)。



76. 丽斗蟋 *Velarifictorus ornatus* (Shiraki)

分布: 四川(秀山)、贵州(松桃)。

77. 宽纹斗蟋 *Velarifictorus latefasciatus* (Chopard)

分布: 湖南(慈利、大庸)。

78. 迷卡斗蟋 *Velarifictorus micado* (Saussure)

分布: 湖南(大庸)、四川(秀山)、贵州(江口梵净山、雷山)。

蟋蛉科 Trigonidiidae

针蟋亚科 Nemobiinae

79. 滨双色针蟋 *Dianemobius csikii* (Bolivar)

分布: 四川(黔江)。

80. 斑腿双色针蟋 *Dianemobius fascipes* (Walker)

分布: 湖北(来凤)、四川(黔江、秀山)。

81. 白须双色针蟋 *Dianemobius furumagiensis* (Ohmachi et Furukawa)

分布: 四川(秀山)。

82. 亮褐拟针蟋 *Pteronemobius nitidus* (Bolivar)

分布: 湖南(慈利)。

蟋蛉亚科 Trigonidiinae

83. 红胸黄蛉 *Anaxipha rufonotata* Chopard

分布: 湖南(慈利)。

84. 双带拟蛉 *Paratrigonidium bifasciatum* Shiraki

分布: 湖南(慈利)。

85. 黑足墨蛉 *Homoeoxipha nigripes* Hsia et Liu, 新种 (图 14)

雄注: 体小形, 细长。头部稍延长, 近颈部稍狭缩, 背面具细茸毛和粗刚毛。复眼突出; 下颚须第 5 节端部较强地扩大。前胸背板前部较明显地狭于后部, 前缘圆形, 表面具细茸毛和刚毛。前翅胫节内、外两侧听器大, 椭圆形, 或内侧听器退化呈凹窝状 (短翅型)。后足胫节具 3 对可活动的长刺。前翅稍超过腹端, 斜脉 1 条; 音镜甚大, 长大于宽。



端域退化。侧面具3条纵脉。后翅发达或退化。雄性外生殖器如图14: b, c。

雌性：体型大小与雄性相似。前翅较狭窄，背面具5条纵脉，纵脉之间是闰脉，侧面部的脉序与雄性相似。产卵瓣与后足股节约等长，稍向上弯，端瓣较长，约为其全长的1/2，背缘和腹缘具细齿。

体黑色。头部暗褐色，触角淡黄色，基部两节黑色；下颚须暗褐色。前胸背板暗褐色至暗黑色。前足和中足暗褐色，跗节淡黄色。后足股节基部2/5为淡黄色，端部3/5为暗黑色；后足胫节淡黄色，端部稍暗色。前翅烟色，缺较明显的暗色斑纹。

体长♂5.2—5.3mm，♀5—5.8mm；前胸背板长♂1—1.1mm；♀1—1.1mm；前翅长♂3.8—4mm，♀3.8—4.1mm；后足股节长♂4—4.2mm，♀4.3—4.5mm；产卵瓣长2—2.1mm。

正模♂，湖南慈利索溪峪，1988. IX. 4—5。配模♀，湖南大庸张家界，1988. IX. 12。副模2♂♂，贵州贵阳黔灵山，1988. IX. 29；1♀，湖南大庸张家界，1988. IX. 10。

分布：浙江、湖南、贵州。

本新种酷似赤胸墨蛉 *H. lycoides* (Walker, 1869)，区别在于后足股节端部3/5为暗黑色，雄性前翅的暗色斑纹较不明显，雄性外生殖器构造不同。

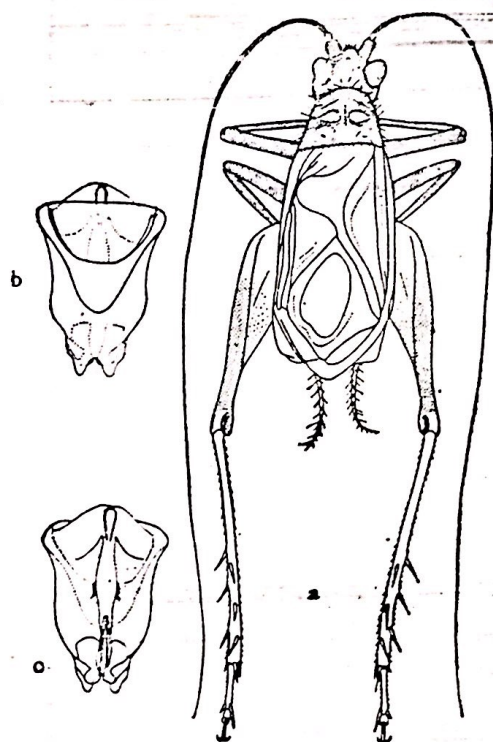


图14 黑足墨蛉 *Homocoxipha nigripes* Hisa et Liu, 新种

a. 雄性整体背面观； b. 雄性外生殖器背面观； c. 雄性外生殖器腹面观。

### 86. 哈尼蟋蛉 *Trigonidium (Metioche) haani* Saussure

分布：湖南(古丈)、贵州(雷山)。

## 钟蟋科 Phalangopsidae

### 87. 日本马蟋 *Homoeogryllus japonicus* (Haan)

分布：湖南(慈利)。

## 树蟋科 Oecanthidae

### 88. 长瓣树蟋 *Oecanthus longicauda* Matsumura

分布：湖南(慈利、大庸)。

### 89. 印度树蟋 *Oecanthus indicus* Saussure

分布：湖南(吉首)、四川(酉阳)、贵州(江口梵净山、松桃、玉屏)。



蝮蛉科 Eneopteridae

短距蝮蛉亚科 Podoscirtinae

90. 双色阔胫蝮蛉 *Mnesibulus bicolor* (Haan)

分布：湖南(慈利)。

91. 黄缘穴蝮蛉 *Calyptotrypus flavomarginatus* Hsia et Liu, 新种 (图 15)

雌性：体形中等。头稍宽于前胸背板前部，额突狭于触角第 1 节的宽。复眼大，突

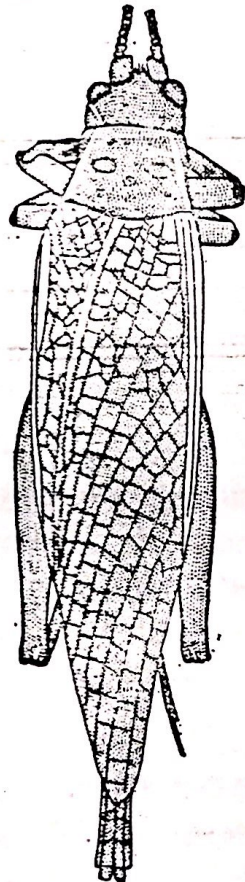


图 15 黄缘穴蝮蛉 *Calyptotrypus flavomarginatus* Hsia et Liu. 新种雌性整体背观

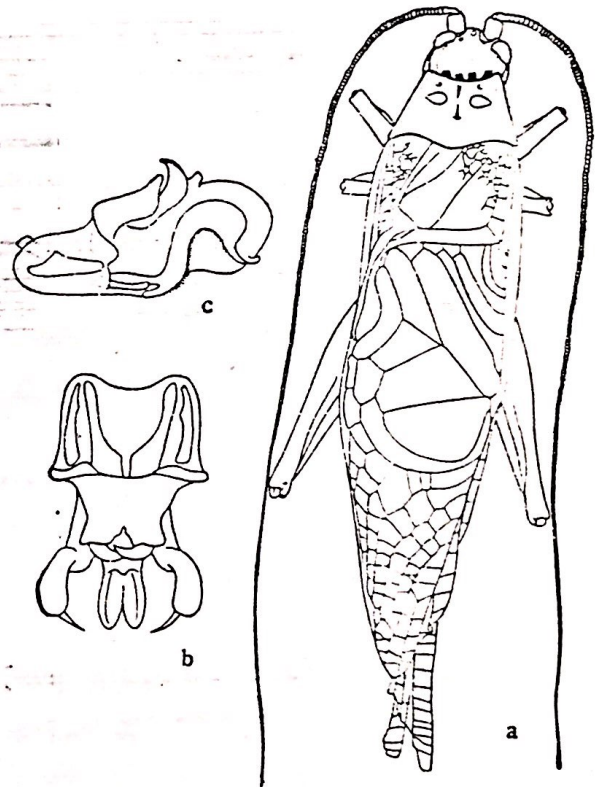


图 16 弯突舟蝮蛉 *Truljalja sigmaparamera* Hsia et Liu. 新种

a. 雄性整体背观； b. 雄性外生殖器背观；  
c. 雄性外生殖器侧观。

出。中单眼卵圆形，稍凹陷；侧单眼小，不突出。下颚须短，第 5 节几乎不长于第 3 节，端部强扩大。前胸背板向后扩宽，前缘平直，后缘微波曲形，侧隆线甚明显；背表面无明显的中缝，中央稍偏后具一较深的凹窝，新月形凹痕的前后方各具一浅的凹窝。足甚短。前足胫节基部稍膨大，内听器为裂缝状，外听器略大，卵圆形。后足胫节背面内缘具 6 长刺，外缘具 5 长刺，基部及刺间具八齿。前翅超过腹端，Sc 脉具 9 分枝，Cu<sub>1</sub> 脉具 6 分枝，近端部的横脉排列较整齐，形成较规则的小翅室。后翅长于前翅。下生殖板横宽，端部具较



宽而深的凹口。产卵瓣甚短，端瓣延长，较光滑。

体黄褐色。头部背面暗黑色，颜面黄褐色，复眼后方具一不甚明显的淡色狭条纹。前胸背板背面黑色，前缘及侧缘黄色，侧片完全黑色，各足股节端部和背面为黑褐色，胫节暗黑色。

体长 15mm；前胸背板长 3mm；前翅长 19.5mm；后足股节长 10.5mm；产卵瓣长 5.5mm。

正模♀，贵州梵净山，1988. VII. 12。

本新种与 *C. maindroni* (Chopard) 较近似，区别在于前胸背板背面黑色，前缘及侧缘黄色；侧片完全黑色。前翅较长，暗黑色，具黄色的肩带。产卵瓣较短。

## 92. 梨舟蝓蛉 *Truljalia hibinonis* (Matsumura)

分布：湖南(慈利)。

## 93. 弯突舟蝓蛉 *Truljalia sigmaparamera* Hsia et Liu, 新种 (图 16)

雄性：体形中等。头小，几乎不宽于前胸背板前部，背面稍平坦。额突狭于触角第 1 节的宽。复眼水平向延长，弱地突出。单眼大，中单眼凹陷，侧单眼稍突出。下颚须较短，第 5 节与第 3 节约等长，端部略扩大。前胸背板向后扩宽，前缘稍凹，后缘波曲形，侧隆线明显。表面具极弱的细皱，中缝甚明显，两边各具一新月形凹痕。足短，前足胫节基部稍膨大，内听器为裂缝状，外听器为卵圆形。后足胫节背面内缘及外缘各具 5—7 刺，外缘刺较内缘刺短，基部和刺间无细齿。前翅超过腹端。发音镜长与宽几乎相等，中央具一横脉分镜为二室；斜脉 6—7 条，3 较长的斜脉为一组，近基部相连接；端域较长，横脉排列不规则；Sc 脉具 14—16 近平行的分枝，Cu<sub>1</sub> 脉具 4—6 分枝。后翅略微长于前翅。肛上板深裂成两三角形的裂叶，端部具钝圆，基部内侧各具一小附突。尾须细长，简单。下生殖板长略微大于宽，后缘平截。生殖器颇发达，阳茎端刺纵裂为两瓣，背面中部在阳茎背片钩状突后方具一小突起(图 16)，背缘从侧面观呈圆形；阳茎外侧突侧观 S 形弯曲，端部具一长刺。

体淡绿色或黄绿色。后头具 4 黑色短纵带，复眼后方具黄黑双色纵纹；触角黄褐色，腹面为暗褐色。前胸背板侧隆线黄色，侧片前上角和后上角为具一小黑斑。前翅背部翅脉大部分暗色，后足胫节背缘刺及细齿端部暗色。

雌性：前翅到达产卵瓣端部，Sc 脉具 13—15 分枝，Cu<sub>1</sub> 脉具 9—11 分枝。下生殖板横宽，端部具宽而深的凹口。产卵瓣与后足股节约等长，端瓣具颗粒状小突起。

体长♂ 18—20mm，♀ 19—20mm；前胸背板长♂ 3.5—3.8mm，♀ 3.5—3.8mm；前翅长♂ 22—23mm，♀ 24—25mm；后足股节长♂ 10.5—11mm，♀ 11mm；产卵瓣长 11—12mm。

正模♂，配模♀，副模 3♂♂8♀♀，湖南大庸张家界，1988. IX. 10—11。

分布：浙江、安徽、湖南、贵州。

本新种与梨舟蝓蛉 *T. hibinonis* (Matsumura) 近似，区别在于雄性生殖器构造不同(图 16)。阳茎端刺背面中央在阳茎背片钩状突之后具一小突，背缘从侧面观呈圆形；阳茎外侧突(ectoparamere)侧观强“S”形弯曲，端部具一长刺。



突额蝈蛉亚科 Euscyrtinae

94. 短翅突额蝈蛉 *Euscyrtus hemelytrus* (Haan)

分布: 湖北(来凤)、湖南(大庸、吉首)、贵州(江口梵净山)。

95. 马来长额蝈蛉 *Patiscus malayanus* Chopard

分布: 湖南(慈利)。

ORTHOPTERA: TETTIGONIOIDEA AND GRYLLOIDEA

Xia Kailing (Hsia Kai-ling) and Liu Xianwei

(Shanghai Institute of Entomology, Academia Sinica, Shanghai 200025)

The collection contains 95 species of Tettigonioidea and Grylloidea from area of Wuling Mountains in China, belonging to 51 genera, among them with a new genus *Alloducetia* and 17 new species. Descriptions of new genus and new species are given below. All the types are deposited in the Collection of Shanghai Institute of Entomology, Academia Sinica.

*Alloducetia* Hsia et Liu Gen. nov.

Fastigium of vertex compressed, narrower than first antennal segment, sometimes not sulcate above. Eyes oval, prominent. Pronotum without lateral carinae. Fore coxae unarmed. Femora usually with ventral spinules. Fore tibiae with open tympanum on each side. Fore and hind wings fully developed, hind wings slightly extending beyond fore wings. Fore wings matt and opaque, Sc and R contiguous except near apex; stridulatory area of left fore wing strongly protruded in male (Fig. 1: b). Male tenth abdominal tergite unmodified. Male subgenital plate deeply split into two curved upwards lobes, without styles. Ovipositor well developed, with crenulation. Gonangulum modified, with an extended point at the apex (Fig. 1: d).

Typespecies. *Alloducetia bifurcata* Hsia et Liu sp. nov.

This new genus is clearly a close relative of *Ducetia* Stål, but may be readily distinguished from it by the male left fore wing with strongly protruded stridulatory area, Gonangulum of ovipositor modified with an extended point at the apex.

1. *Alloducetia bifurcata* Hsia et Liu sp. nov. (Fig. 1)

Male: Fastigium of vertex compressed, very narrower than first antennal segment, not continuous from frontal fastigium, without distinct sulcus above, concave in profile. Lateral lobe of pronotum little longer than high, lower margin nearly straight, hind margin with shallow humeral sinus. Fore coxae unarmed. Femora with ventral spinules. Fore tibiae sulcate above and with external dorsal spurs. Fore wings very narrow and long, extending beyond hind knees; Rs arising from R behind the middle, forked behind its middle or not forked; stridulatory area strongly triangular protruded on left fore wing. Hind wings longer than



fore wings. Tenth abdominal tergite with concave posterior margin, supraanal plate quadrate. Cerci simple, cylindrical, strongly incurved, with a rostriform tooth. Subgenital plate deeply split into two curved upwards lobes, bifurcate at apex (Fig. 1: d), the shorter internal branch with some denticles apically; external branch extended into spine in the internal angle.

Coloration yellowish green. Head with two thin light stripes behind each eye. Pronotum with scattered dark spots, but rather density in disc and light stripe along each side of disc. Fore wing with the precostal area light-green; Costal and radial area rosebrown; Medial and anal area dark-green; stridulatory area brownish; most of celled with minute dark spots.

Female: Forewing not reaching the hind knee. Hindwing little longer than forewing. Ovipositor compressed, strongly curved upwards, with crenulation. Gonangulum modified, with an extended point at the apex. Subgenital plate triangular, with a small notch at apex.

Body length ♂ 15—17 mm, ♀ 17—19 mm; Pronotal length ♂ 3.8—4 mm, ♀ 4 mm; Forewing length ♂ 23—24 mm, ♀ 21—22 mm; Hindfemoral length ♂ 18—20 mm, ♀ 21—22 mm; Ovipositor length 5 mm.

Holotype ♂, allotype ♀, paratypes 4♂♂5♀♀, Qianling Mountain, Guizhou, 29. IX. 1988.

## 2. *Isopsera nigroantennata* Xia et Liu sp. nov. (Fig. 2)

This new species is very similar to *I. stylata* Brunner and *I. brevissima* Shiraki, but distinguished from it in the fore femora with 3—4 internal ventral spinules, 3—6 external ventral spinules on mid femora. Coloration green, with blackish markings on behind the eyes of vertex, external margin of first and second antennal joint, lateral lobe of pronotum, fore wing and parts of legs. Antennae black, with spaced white rings.

Body length ♂ 24 mm, ♀ 24—28 mm; Pronotal length ♂ 6 mm, ♀ 6—6.5 mm; Forewing length ♂ 38—41 mm, ♀ 42—45 mm; Hindfemoral length ♂ 25—27 mm, ♀ 27—29 mm; Ovipositor length 6—7 mm.

Holotype ♂, Mt. Emei, Sichuan, 11. VIII. 1987. Allotype ♀, Mt. Huangshan, Anhui, 1. IX. 1980. Paratypes 2♂♂, Mt. Huangshan, Anhui, 1. IX. 1983; 2♂♂, Cili, Hunan, 4. IX. 1988; 1♀, Mt. Tianmu, Zhejiang, 10. VIII. 1962.

## 3. *Tapiena bivittata* Hsia et Liu sp. nov. (Fig. 3)

This new species may be recognized by the head with a brown face except at genae, behind the eyes and pronotum with black lateral stripes (Fig. 3). Forewing with scattered dark spots, M. and Cu blackish at base, from those may easily differ from the all known species of the genus.

Body length 23—25 mm; Pronotal length 6.2—6.5 mm; Forewing length 35—36 mm; Hindfemoral length 21—21.5 mm; Ovipositor length 7 mm.

Holotype ♀, Mt. Fanjing, Guizhou, 22. IX. 1988. Paratype 1♀, Mt. Emei, Sichuan, 18. VIII. 1985.

## 4. *Parapsyra nigrovittata* Hsia et Liu sp. nov. (Fig. 4)

This new species is very similar to *P. notabilis* Carl 1914, but, distinguished from it in the body size small and forewing relatively short, ovipositor shorter, about 2 times as long as pronotum.

Body length ♂ 22—27 mm, ♀ 24—26 mm; Pronotal length ♂ 4.8—5.3 mm, ♀ 5—5.5 mm; Forewing length ♂ 38—44 mm, ♀ 41—46 mm; Hind femoral length ♂ 22.5—30 mm, ♀ 27.5—



32 mm; Ovipositor length 10—11 mm.

Holotype ♂, allotype ♀, paratypes 11♂♂2♀♀, Suoxiyu, Cili, Hunan, 1—10. IX. 1988.

Distribution: Hunan, Fujian.

5. *Phlugiolopsis fallax* Hsia et Liu sp. nov. (Fig. 5)

This new species is very similar to *Ph. henryi* Zeuner, but is evidently distinguished from it in the male cerci heavy at base, with deeply excavated inside, but the upper part at this point forms a broad and flat accessory lobe (Fig. 5: b-d); One large inner lobe growing median part with truncated apex. Female unknown.

Body length 8 mm; Pronotal length 4 mm; Forewing length 1.7 mm; Hind femoral length 8.1 mm.

Holotype, Hengshan Mountain, Hunan, 31. IX. 1986.

6. *Phlugiolopsis brevis* Hsia et Liu sp. nov. (Fig. 6)

This new species is similar to *Ph. yaeyamensis* Yamasaki and *Ph. minuta* (Tinkham), but evidently distinguished from it in the male cerci heavy at basal two-thirds, strongly excavated inside, the margins at this point forms a broad and flat accessory lobe; apical one-third of cerci very slender, cylindrical, strongly incurved. Female subgenital plate produced posteriorly into pointed median projection (Fig. 6: b), slightly elevated.

Body length ♂, 8.5 mm; ♀, 8.2 mm; Pronotal length ♂ 4.5 mm, ♀ 4 mm; Hind femoral length ♂ 7 mm; ♀ 8.5 mm; Ovipositor length 5 mm.

Holotype ♂, allotype ♀, Suoxiyu, Cili Hunan, 4. IX. 1988.

7. *Phlugiolopsis tuberculata* Hsia et Liu sp. nov. (Fig. 7)

This new species is similar to *Ph. brevis* Hsia et Liu, but differs from it in the male tenth abdominal tergite with two minutely processes at posterior margin. Male cerci longer and heavy at basal three-fifths, excavated inside, the upper part at this point forms a broad and flat accessory lobe; Apical two-fifths of cerci very slender, angular curved inwards (Fig. 7: a). Female subgenital plate with posterior margin slightly concave, the lateral angle round and decurved.

Body length ♂ 7.5 mm, ♀ 8 mm; Pronotal length ♂ 3.2 mm, ♀ 3.5 mm; Hindfemoral length ♂ 6.5 mm, ♀ 7 mm; Ovipositor length 4 mm.

Holotype ♂, allotype ♀, Mt. Qianling, Guiyang, Guizhou, 29. IX. 1988.

8. *Cyrtopsis variabilis* Hsia et Liu sp. nov. (Fig. 8)

This new species is similar to *C. scutigera* Bey-Bienko, but distinguished from it in the coloration mottled brownish black, metazona of pronotum with a conspicuous yellowish large patch on both sides. Male tenth abdominal tergite with a pair of round lobes, supraanal plate apparently fused to tenth abdominal plate (Fig. 8: b); Male cerci simple like a pair of hook, with apical one-third strongly incurved.

Female unknown.

Body length ♂ 11 mm; Pronotal length ♂ 5 mm; Fore wing length ♂ 3 mm; Hind femoral length 12 mm.

Holotype ♂, Mt. Leigong, Guizhou, 30. VI. 1988.



9. *Xiphidiopsis hunanensis* Hsia et Liu sp. nov.

This new species is very similar to *X. spathulata* Tinkham, but distinguished from it in the large size, areas of tibial auditory organ not darkish, ninth abdominal tergite of female with a very conspicuous protuberance on each side.

Body length ♂ 11.5—12 mm, ♀ 10—11 mm; Pronotal length ♂ 3.5 mm, ♀ 3.5—3.8 mm; Forewing length ♂ 17—18 mm, ♀ 18—19 mm; Hind femoral length ♂ 10—10.5 mm, ♀ 10.5—11 mm; Ovipositor length 6 mm.

Holotype ♂, allotype ♀, paratypes 5♂♂14♀♀, Zhangjiajie, Dayong, Hunan, 10—12. IX. 1988.

10. *Xiphidiopsis maculata* Hsia et Liu sp. nov. (Fig. 9)

This new species is very similar to *X. spathulata* Tinkham. But evidently distinguished from it in the fastigium of vertex with dark brown stripe above, metanotum with pleurite blackish, fore wings with a more infumate spots, male cerci shorter and thick, apical one-third strongly compressed and excavated inside (Fig. 9: a), in lateral view widened at apical half (Fig. 9: b).

Body length ♂ 12 mm, ♀ 10.5—11 mm; Pronotal length ♂ 3.5—3.8 mm, ♀ 3—3.5 mm; Forewing length ♂ 17 mm, ♀ 18—19 mm; Hind femoral length ♂ 10.5 mm, ♀ 10.5—11.5 mm; Ovipositor length 5.5 mm.

Holotype ♂, allotype ♀, paratypes 1♂13♀♀, Suoxiyu, Cili, Hunan, 4—12. IX. 1988.

11. *Xiphidiopsis fissa* Hsia et Liu sp. nov. (Fig. 10)

This new species is similar to *X. bolivari* Karny from Sumatra, but differs from it in the male cerci with a longer spiniform inner protrusion at base (Fig. 10: a); Apical one-third of cerci widened dorsally form into lobe (Fig. 10: a). Titillators developed, protruded posteriorly between both the cerci, quadrate, with a pair of long spine at lateral-apical sides (Fig. 10: b). Female subgenital plate deeply fissurated into two narrow and acute lobes (Fig. 10: c).

Body length ♂ 9—9.5 mm, ♀ 9.5—10 mm; Pronotal length ♂ 3—3.2 mm, ♀ 3 mm; Forewing length ♂ 10.5—14 mm, ♀ 12.0—15.5 mm; Hind femoral length ♂ 9—10 mm, ♀ 9.5—10.5 mm; Ovipositor length 5.5—6 mm.

Holotype ♂, allotype ♀, paratypes 3♂♂8♀♀, Suoxiyu, Cili, Hunan, 1—4. IX. 1988.

Distribution: Hunan, Sichuan, Guangxi.

12. *Xiphidiopsis magna* Hsia et Liu sp. nov. (Fig. 11)

This new species is similar to *X. appendiculata* Tinkham, but evidently distinguished from it in the size larger and robust, pronotum with dark brown lateral stripes; Male cerci with a wide inner lobe at the median part, with sinuous margin (Fig. 11: a). Female subgenital plate transverse, becoming narrower at apical two-thirds, posterior margin truncated (Fig. 11: b), With lateral carinae.

Body length ♂ 12—14.5 mm, ♀ 12—14 mm; Pronotal length ♂ 4.5—5 mm, ♀ 4.2—4.7 mm; Forewing length ♂ 19—22 mm, ♀ 22—25 mm; Hind femoral length ♂ 10.5—12 mm, ♀ 11—12.5 mm; Ovipositor length 10—12.5 mm.

Holotype ♂, allotype ♀, paratypes 2♀♀, Fanjing Mountain, Guizhou, 12—14. VII. 1988.



Distribution: Jiangxi, Fujian, Guangxi, Guizhou.

13. *Xiphidiopsis excavata* Hsia et Liu sp. nov. (Fig. 12)

This new species is very similar to *X. bituberculata* Ebner and *X. impressa* Bey-Bienko, but distinguished from it in the fore wing with a few scattered dark spots, female eighth abdominal tergite with lateral notch at the posterior margin (Fig. 12: a), subgenital plate roundly triangular (Fig. 12: b), constricted in the center of basal half, lateral surface excavate, with a distinct median keel. Male unknown.

Body length 7—9 mm; Pronotal length 2.8—3 mm; Forewing length 14.5—15 mm; Hind femoral length 8—9.2 mm; Ovipositor length 5.5—5.8 mm.

Holotype ♀, paratypes 9♀♀, Suoxiyu, Cili, Hunan, 1—12. IX. 1988.

14. *Xiphidiopsis elongata* Hsia et Liu sp. nov. (Fig. 13)

This new species similar to *X. irregularis* Bey-Bienko, greatly resembling *X. appendiculata* Tinkham in the shape of female subgenital plate, but differs from it in the following characters: Genicular lobes of hind femora with a black spot at apex; Male tenth abdominal tergite much elongated posteriorly in the medial portion of posterior margin, slightly compressed and elevated at basal part, depressed in the remaining part, with decurved lateral margins and roundly truncated at apex (Fig. 13: a); One large protuberance growing median of ventral face, its anterior portion directed ventrally (Fig. 13: b). Male cerci dorso-ventrally winded in basal half, slightly excavated inside, with an obliquely accumbent lobe at its inner median part; Apical half of cerci becoming slender and incurved.

Body length ♂ 10 mm, ♀ 10 mm; Pronotal length ♂ 3.5 mm, ♀ 3—3.2 mm; Forewing length ♂ 16.5—17 mm, ♀ 17—17.5 mm; Hind femoral length ♂ 9.5 mm, ♀ 9.5 mm; Ovipositor length 9 mm.

Holotype ♂, allotype ♀, paratypes 3♂♂2♀♀, Suoxiyu, Cili, Hunan, 1—6. IX. 1988.

15. *Homoeoxipha nigripes* Hsia et Liu sp. nov. (Fig. 14)

In its size and general appearance this species resembles *H. lycoides* (Walker), but it differs from the hind femora with blackish at the apical two-fifth, male forewings without very conspicuous blackish spots, and from the male genitalia.

Body length ♂ 5.2—5.3 mm, ♀ 5—5.8 mm; Pronotal length ♂ 1—1.1 mm, ♀ 1—1.1 mm; Forewing length ♂ 3.8—4 mm, ♀ 3.8—4 mm; Hind femoral length ♂ 4—4.2 mm, ♀ 4.3—4.5 mm; Ovipositor length 2—2.1 mm.

Holotype ♂, Suoxiyu, Cili, Hunan, 4. IX. 1988. Allotype ♀, Zhangjiajie, Dayong, Hunan, 12. IX. 1988.

16. *Calyptotrypus flavomarginatus* Hsia et Liu sp. nov. (Fig. 15)

This new species known from a single female, is very similar to *C. maindroni* (Chopard), but distinguished from it in the disk of pronotum black, with the anterior margin and lateral margins yellow, lateral lobes black. Fore wing longer, blackish, with a yellow humeral band. Ovipositor shorter. Male unknown.

Body length 15 mm; Pronotal length 3 mm; Forewing length 19.5 mm; Hind femoral length 10.5 mm; Ovipositor length 5.5 mm.



Holotype ♀, Mt. Fanjing, Guizhou 12. VII. 1988.

17. *Truljalia sigmaparamera* Hsia et Liu sp. nov. (Fig. 16)

This new species is similar to *T. lubinonis* (Matsumura), but differs from it in the male genitalia (Fig. 15: b, c), Virga with a small protuberance directed posteriorly just behind the hook of epiphallus on the middle of dorsal surface, the dorsal margin in lateral view rounded; paramera strongly S-curved, with a long spine at apex.

Body length ♂ 18—20 mm, ♀ 18—20 mm; Pronotal length ♂ 3.5—3.8 mm, ♀ 3.5—3.8 mm; Forewing ♂ 22—23 mm, ♀ 24—25 mm; Hind femoral length ♂ 10.5—11 mm, ♀ 11 mm; Ovipositor length 11—12 mm.

Holotype ♂, allotype ♀, paratypes 3♂♂8♀♀, Zhangjiajie, Dayong, Hunan, 10—11. IX. 1988.

Distribution: Zhejiang, Anhui, Hunan, Guizhou.